

## **ОПРЕДЕЛЕНИЕ ПОСТОЯННЫХ РАСПРОСТРАНЕНИЯ И ПОСТРОЕНИЕ СТРУКТУРЫ ПОЛЕЙ ЭЛЕКТРОМАГНИТНЫХ ВОЛН В КРУГЛОМ ВОЛНОВОДЕ**

**Г.Ш.НАБИЕВ**

*Азербайджанский Технический Университет  
AZ 1073, г.Баку, пр. Г.Джавида, 25*

Определены постоянные распространения электромагнитных волн в круглом волноводе. Разработаны методы расчета электромагнитного поля в круглом волноводе как с однородным так, и с частичным диэлектрическим заполнением, моделирующим наличие активной среды.

### **ВВЕДЕНИЕ**

Изучение физических процессов, протекающих в устройствах сверхвысоких частот (СВЧ), направленное на создание новых устройств подобного рода, на увеличение мощности и укорочение длины волны генераторов и усилителей и построение моделей таких устройств в современных условиях является одним из приоритетных направлений развития телекоммуникации.

Одно из важных мест среди всех типов СВЧ устройств принадлежит сложным волноводам благодаря их высоким техническим и экономическим характеристикам. Это связано с расширением области использования таких устройств в физических исследованиях, с созданием новых типов передающих трактов, радиолокаторов миллиметрового диапазона, позволяющих существенно повысить дальность передачи электромагнитной энергии, а также точность определения координат целей и расширить возможности исследования космического пространства, и с рядом других направлений.

В последние время в связи с появлением новых областей применения сложных СВЧ устройств возрос интерес к изучению особенностей распространения электромагнитных волн в этих устройствах. В современных сложных СВЧ устройствах структуру электромагнитного поля формируют волноводы, в связи с чем необходимо ее знать и уметь рассчитывать.

Все это приводит к тому, что необходимо уметь рассчитывать поля в сложных волноводных структурах, поскольку стандартными типами волноводов интерес в промышленности и в науке не ограничивается. В ряде случаев необходимо использование иных видов систем, к которым можно отнести гребневые (Н- и Т-образные) волноводы и волноводы иных форм поперечного сечения.

Сложность геометрии и приближенное решение задачи о собственных числах и собственных функциях таких волноводов делает актуальной задачу электродинамического моделирования в них структур электромагнитных полей существующих типов волн. Математическое моделирование представляет мощный инструмент анализа распространения волн в волноводящих системах. Такое исследование дает наиболее полную исчерпывающую информацию о параметрах сложной волноводной структуры и характере распространения волн в ней. Одним из представителей таких типов волноводов является круглый волновод, разработка методики расчета параметров которого является задачей настоящей работы. Его применение связано как с возможностями использования таких систем в радиолокации, так и для созданием других типов устройств для канализации электромагнитной энергии.

Целью работы является разработка методов расчета, создание комплекса программ и анализа на их основе параметров электромагнитного поля в круглом волноводе как с однородным, так и с частичным диэлектрическим заполнением, моделирующем наличие активной среды.

Задача определения постоянных распространения и построения структуры полей электромагнитных волн в круглом волноводе (Рис.1) сводится к необходимости решения однородного двумерного уравнения Гельмгольца

$$\begin{aligned} \nabla_{\perp}^2 E_z + g^2 E_z &= 0, \\ \nabla_{\perp}^2 H_z + g^2 H_z &= 0 \end{aligned} \quad (1)$$

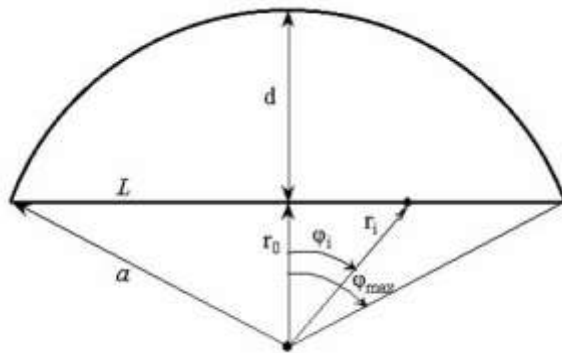
с однородными граничными условиями

$$E_z = 0 \quad (2a)$$

$$\frac{\partial H_z}{\partial n} = 0, \quad (2б)$$

заданными на контуре. При этом невозможно подобрать такую ортогональную систему координат, координаты поверхностей которой совпали бы с поверхностью волновода. В этом случае хотя бы поверхностное граничное условие будет иметь вид функции двух переменных, что делает невозможным полностью аналитическое решение краевой задачи и приводит к необходимости использования численных методов.

Рассмотрим решение краевой задачи (1), (2) с использованием метода коллокации [1,2] и метода конечных разностей [1,2].



**Рис.1.**

Поперечное сечение круглого волновода.

### ПОСТРОЕНИЕ И РЕШЕНИЕ МАТЕМАТИЧЕСКИХ МОДЕЛЕЙ

В цилиндрической системе координат уравнения (1) имеют вид

$$\frac{\partial^2 E_z}{\partial r^2} + \frac{1}{r} \frac{\partial E_z}{\partial r} + \frac{1}{r^2} \frac{\partial^2 E_z}{\partial \varphi^2} + g^2 E_z = 0, \quad (3a)$$

$$\frac{\partial^2 H_z}{\partial r^2} + \frac{1}{r} \frac{\partial H_z}{\partial r} + \frac{1}{r^2} \frac{\partial^2 H_z}{\partial \varphi^2} + g^2 H_z = 0, \quad (3б)$$

здесь под  $E_z$  и  $H_z$  понимаются  $E_z = E_z(r, \varphi)$  и  $H_z = H_z(r, \varphi)$ , соответственно.

Решение этих уравнений методом разделения переменных [3-7] приводит к следующим выражениям

$$E_z(r, \varphi) = \sum_{m=0}^{\infty} [C_{Em} J_m(gr) + D_{Em} N_m(gr)] [A_{Em} \cos(m\varphi) + B_{Em} \sin(m\varphi)], \quad (4a)$$

$$H_z(r, \varphi) = \sum_{m=0}^{\infty} [C_{Em} J_m(gr) + D_{Em} N_m(gr)] [A_{Em} \cos(m\varphi) + B_{Em} \sin(m\varphi)], \quad (4б)$$

где  $J_m(gr)$  – функция Бесселя или цилиндрическая функция первого рода  $m$ -го порядка;  $N_m(gr)$  – функция Неймана или цилиндрическая функция второго рода  $m$ -го порядка;  $g$  – поперечное волновое число.

Из Рис.1, на котором изображено поперечное сечение круглого волновода, видно, что его контур состоит из двух частей: дуги радиуса  $r=a$  и прямой линии  $L$ .

Удовлетворяя граничным условиям (2) на границе  $r=a$  и учитывая, что они должны выполняются при любых  $\varphi$ , получим

$$D_{Em} = -C_{Em} \frac{J'_m(ga)}{N_m(ga)}, \quad (5a)$$

$$D_{Hm} = -C_{Hm} \frac{J'_m(ga)}{N'_m(ga)}. \quad (5б)$$

Тогда, вводя обозначения

$$Z_{Em}(gr) = J_m(gr)N_m(ga) - J_m(ga)N_m(gr), \quad (6a)$$

$$Z_{Hm}(gr) = J_m(gr)N'_m(ga) - J'_m(ga)N_m(gr), \quad (6б)$$

получим

$$E_z(r, \varphi) = \sum_{m=0}^{\infty} Z_{Em}(gr) [A_{Em} \cos(m\varphi) + B_{Em} \sin(m\varphi)], \quad (7a)$$

$$H_z(r, \varphi) = \sum_{m=0}^{\infty} Z_{Hm}(gr) [A_{Hm} \cos(m\varphi) + B_{Hm} \sin(m\varphi)]. \quad (7б)$$

Здесь постоянны  $C_{Em}/N_m(ga)$  и  $C_{Hm}/N'_m(ga)$  внесены в коэффициенты  $A_{Em}$  и  $B_{Em}$ ,  $A_{Hm}$  и  $B_{Hm}$ , соответственно.

Граничные условия (2) на границе  $L$  не могут быть удовлетворены аналитически. Воспользуемся методом коллокации [1,2], который заключается в следующем: параметры  $A_{Em}$  и  $B_{Em}$  для  $E$ -волн или  $A_{Hm}$  и  $B_{Hm}$  для  $H$ -волн выбираются так, чтобы функции (7а) и (7б) точно удовлетворяли граничным условиям (2а) и (2б), соответственно в дискретном ряде точек, принадлежащих границе  $L$ . Тем самым они будут приближенно выполняются на всей границе  $L$ .

Методом коллокации для  $E$ -волн получены дисперсионные уравнения (8) и (9), решая которые можно получить значения поперечного волнового числа, и, следовательно, критические длины волн

$$[Z_k(gr_i) \sin k\varphi] = 0, \quad (8)$$

где -  $k = 1, 2, \dots, n$  - индекс по строке;  $i = 1, 2, \dots, n$  - индекс по столбцу ;  $n$  - количество точек на половине границы  $L$ ,

$$[Z_k(gr_i) \cos k\varphi_i] = 0, \quad (9)$$

где -  $k = 0, 1, \dots, n; i = 0, 1, \dots, n$ .

Для  $H$ -волн дисперсионные соотношения получены в виде

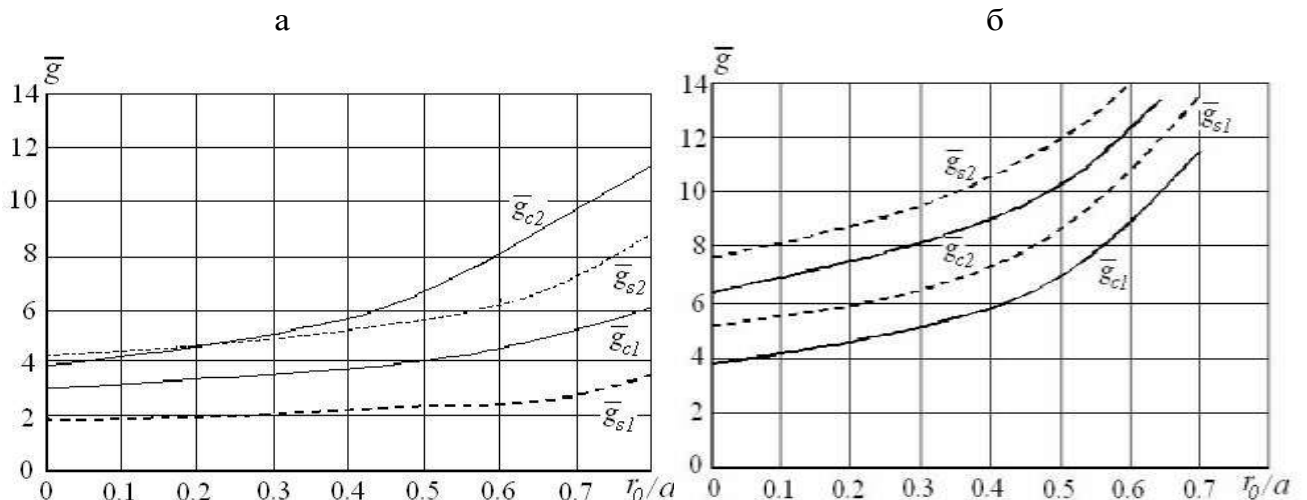
$$\left[ \cos(k+1)\varphi_i \left( gZ'_{Hk}(gr_i) - \frac{k}{r_i} Z_{Hk}(gr_i) \right) + \cos(k-1)\varphi_i \left( gZ'_{Hk}(gr_i) + \frac{k}{r_i} Z_{Hk}(gr_i) \right) \right] = 0, \quad (10)$$

$$\left[ \sin(k+1)\varphi_i \left( gZ'_{Hk}(gr_i) - \frac{k}{r_i} Z_{Hk}(gr_i) \right) + \sin(k-1)\varphi_i \left( gZ'_{Hk}(gr_i) + \frac{k}{r_i} Z_{Hk}(gr_i) \right) \right] = 0. \quad (11)$$

Получив из решения (10) и (11) значения поперечного волнового числа  $g$ , можем найти критические длины волн.

Расчет уравнений (8) и (9), а также (10) и (11), показал, что при увеличении числа точек корни, как правило, сходятся к какому-то определенному значению. Отклонение от этой тенденции наблюдается только при малых значениях  $r_0/a$ , что, очевидно, связано с сильным возрастанием по абсолютной величине функции

Неймана при малых значениях аргументов. На Рис.2(а,б) приведены зависимости корней уравнений (8), (9),(10) и (11) от относительного размера круглого волновода  $r_0/a$ , Экстраполируя графики на область  $r_0/a \rightarrow 0$ , получаем сходимость решений круглого волновода, так как для  $E$ -волн корень  $\bar{g}_{c1}$  асимптотически приближается к корню  $E_{11}$ -волны (3,832),  $\bar{g}_{s1}$  – к корню  $E_{21}$  волны (5,52), а  $\bar{g}_{c2}$  – к корню  $E_{31}$ -волны (6,38), а  $\bar{g}_{s2}$  к корню  $E_{41}$ -волны (7,588); для  $H$ -волн корень  $\bar{g}_{c1}$  асимптотически приближается к корню  $H_{21}$ -волны (3,054),  $\bar{g}_{c2}$  – к корню  $H_{01}$ -волны (3,832),  $\bar{g}_{s1}$  - к корню  $H_{11}$ -волны (1,841),  $\bar{g}_{s2}$  – к корню  $H_{31}$ -волны (4, 201).



**Рис.2.**

Графики зависимостей корней уравнений (8) и (9) от размера круглого волновода

При увеличении числа узлов в конечно-разностном методе различие корней в сравнении с методом коллокации уменьшается. В отличие от метода коллокации, оказывающегося сильно неустойчивым при малых  $r_0/a$  вследствие больших отрицательных значений функции Неймана малых аргументов, метод конечных разностей позволяет производить расчет вплоть до  $r_0/a = 0$ .

Решение уравнения краевой задачи (1), (2) методом конечных разностей дает сходные результаты. Отличие в прогнозировании сходимости в случае  $E$ -волн обусловлено неизбежными погрешностями экстраполяции.

### ВЫВОДЫ

- Численные эксперименты показали, что метод конечных разностей более применим для проведения расчетов в случае приближения к полукруглому волноводу и дает хорошие результаты по расчету волновых чисел, однако не позволяет судить о типах волн с точки зрения симметрии их полей.
- При решении задачи (1), (2) методом коллокации после численного определения волновых чисел и коэффициентов разложения в ряд на выходе получается аналитическое выражение, являющееся аппроксимацией истинного решения, что является несомненным достоинством метода.
- Получение аналитического вида формулы более удобно для дальнейших расчетов, поскольку для получения все более детального распределения полей и

мощности в волноводе нет необходимости увеличивать число точек, по которым производится решение краевой задачи.

1. Е.А.Волков, *Численные методы*, -М: Наука. Гл. ред. Физ.-мат.лит., (1987) 248.
2. Г.Корн, *Справочник по математике для научных работников и инженеров. Определения, теоремы, формулы*, Перевод со 2-го американского изд. под. общ. ред. И.Г. Арамановича/Г.Корн, Т Корн-5-е изд. -М: Наука, (1966) 724.
3. А.Н.Тихинов, *Уравнения математической физики*, Учеб. пособие.-3-е изд., испр., доп. -М: Наука, (1966) 724.
4. А.Г.Шейн, *Физика волновых процессов и радиотехнические системы*, **4** №2 (2001) 37.
5. Г.Ф.Заргано, В.В.Земляков, Г.П.Синявский, *Физика волновых процессов и радиотехнические системы*, **6** №4 (2003) 19.
6. И.Дж.Исламов, *Численное моделирование электромагнитных полей в сверхвысокочастотных элементах и устройствах (Монография)*, Баку, Элм, (2005) 250.
7. И.Дж.Исламов, *Transactions of Azerbaijan Academy of Sciences, Series of Physical-mathematical and Technical sciences, Physics and Astronomy*, **XXII** №2 (2002).

**DAİRƏVİ DALĞAÖTÜRƏNDƏ ELEKTROMAQNİT DALĞALARININ SAHƏSİNİN YAYILMA SABİTİNİN TƏYİNİ VƏ STRUKTURUNUN QURULMASI**

**H.Ş.NƏBİYEV**

Dairəvi dalğaötürəndə elektromaqnit dalğalarının sahəsinin yayılma sabitinin təyin edilmişdir. Aktiv mühitdə dairəvi dalğabötürənin elektromaqnit səhəsinin hesablanma üsulu işlənilib hazırlanmışdır.

**DEFINITIONS OF CONSTANTS OF DISTRIBUTION AND CONSTRUCTION OF STRUCTURE OF FIELDS OF ELECTROMAGNETIC WAVES IN THE ROUND WAVE GUIDE**

**H.S.NABIYEV**

Constants of distribution of electromagnetic waves in a round wave guide have been estimated. Methods of calculation of an electromagnetic field in a round wave guide as with homogeneous so, and with the partial dielectric filling, modeling presence of the active environment have been developed.

Редактор: А.Халилова